



Escola Secundaria José Gomes Ferreira

Física 12º

FreeCAD *FreeCAD*

Adrian Dias
12º3 - Nº1

12 de Fevereiro de 2026

Conteúdo

1 Introdução Teórica: Engenharia de Transmissões Mecânicas	3
1.1 Contexto Histórico e Evolução das Engrenagens	3
1.2 Fundamentos Cinemáticos dos Sistemas de Engrenagens	3
1.2.1 Classificação dos Sistemas de Engrenagens	3
1.3 Princípios Geométricos dos Dentes com perfil Evolvente	3
1.4 Parâmetros Fundamentais das Engrenagens Cilíndricas	4
2 Teoria dos Trens de Engrenagens Planetárias	4
2.1 Classificação dos Trens Epicíclicos	4
2.1.1 Segundo a Arquitetura (Classificação de Levai)	4
2.1.2 Segundo a Disposição das Engrenagens	5
2.2 Anatomia de um Trem Planetário 2K-H	5
2.3 Dedução da Equação Fundamental de Willis	5
2.4 Condições de Montagem e Compatibilidade	6
2.4.1 Condição de Engrenamento (Compatibilidade de Diâmetros)	6
2.4.2 Condição de Montagem (Compatibilidade Angular)	6
2.4.3 Condição de Vizinhança (Não Interferência entre Planetárias)	6
2.5 Relações de Transmissão para Configurações Típicas	6
2.6 Eficiência dos Trens Planetários	6
3 Modelagem e Implementação no FreeCAD	7
3.1 Fluxo de Trabalho Paramétrico	7
3.2 Modelagem da Engrenagem Solar e Planetária	7
3.3 Montagem do Primeiro Estágio Planetário	7
3.4 Sistema Completo com Dois Estágios em Série	9
4 Aplicação ao Projeto Prático: Sistema Duplo para Bicicleta	9
4.1 Contextualização da Necessidade de Projeto	9
4.2 Descrição do Mecanismo Proposto	10
4.3 Análise Cinemática Detalhada	10
4.3.1 Cálculo da Relação de Transmissão Global	10
4.3.2 Exemplo Numérico com Dados Reais e Interpretação Física	11
4.3.3 Análise de Torques e Potência	11
4.4 Vantagens do Sistema Proposto	12
5 Considerações de Projeto Detalhado	12
5.1 Seleção de Materiais	12
5.2 Análise de Tensões	13
5.3 Tolerâncias e Folgas	13
5.4 Dimensionamento Geométrico Completo	13
6 Conclusão	14
Apêndice A: Código para Cálculo das Relações de Transmissão	17

Apêndice B: Tabela de Fatores de Forma de Lewis **18**

Apêndice C: Dimensionamento Geométrico Completo **18**

1 Introdução Teórica: Engenharia de Transmissões Mecânicas

1.1 Contexto Histórico e Evolução das Engrenagens

As engrenagens constituem uma das mais antigas e fundamentais tecnologias mecânicas da humanidade, com registros que remontam à China Antiga (século IV a.C.) e à Civilização Helênica, onde foram descritas por Aristóteles em *Problemata Mechanica* [18]. No entanto, foi durante a Revolução Industrial que a teoria das engrenagens sofreu um desenvolvimento exponencial, impulsionada pelas necessidades das máquinas a vapor, têxteis e, posteriormente, da indústria automotiva.

O matemático e engenheiro francês **Gaspard Monge** (1746-1818), fundador da geometria descritiva, estabeleceu os fundamentos geométricos para o desenho técnico de engrenagens. Posteriormente, **Robert Willis** (1800-1875) publicou em 1841 *Principles of Mechanism* [27], obra seminal que sistematizou a teoria cinemática dos mecanismos, incluindo os trens epicíclicos.

1.2 Fundamentos Cinemáticos dos Sistemas de Engrenagens

Uma transmissão por engrenagens tem como função primária transmitir movimento e potência entre eixos, com ou sem alteração da relação de velocidades [21]. A relação de transmissão i é definida como:

$$i = \frac{\omega_{\text{entrada}}}{\omega_{\text{saída}}} = \frac{Z_{\text{saída}}}{Z_{\text{entrada}}} \quad (1)$$

onde ω representa a velocidade angular e Z o número de dentes. Para um par de engrenagens em contato externo, as rotações ocorrem em sentidos opostos, enquanto para engrenagens internas (coroas), o sentido é mantido [5].

1.2.1 Classificação dos Sistemas de Engrenagens

- **Engrenagens Cilíndricas de Dentes Retos:** Transmissão mais simples, utilizada para eixos paralelos. Apre-senta o inconveniente de ruído acentuado e choque nos engrenamentos [2].
- **Engrenagens Helicoidais:** Dentes inclinados que proporcionam engrenamento progressivo, reduzindo ruído e vibração, porém introduzindo forças axiais [13].
- **Engrenagens Cônicas:** Para eixos concorrentes, tipicamente a 90° [19].
- **Engrenagens de Parafuso Sem-fim:** Relações de redução muito elevadas em um único estágio, com auto-bloqueio em determinadas condições [24].
- **Trens Planetários ou Epicíclicos:** Foco deste trabalho, caracterizados por múltiplos eixos em movimento relativo complexo [16].

1.3 Princípios Geométricos dos Dentes com perfil Evolvente

O perfil de evolvente de círculo é universalmente adotado em engrenagens modernas devido às suas propriedades fundamentais [9, 6]:

1. **Lei Fundamental do Engrenamento:** Para que a relação de transmissão seja constante, o perfil dos dentes deve satisfazer a condição de que a normal comum ao ponto de contato passe sempre por um ponto fixo (**ponto primitivo**) [5].

2. **Propriedade da Evolvente:** A evolvente é o lugar geométrico de um ponto de uma reta que rola sem es- corregar sobre um círculo base. Esta propriedade garante que o contato ocorra sempre ao longo da **linha de ação**, que é tangente aos círculos base [26].
3. **Ângulo de Pressão (α):** Ângulo entre a linha de ação e a tangente comum aos círculos primitivos. Valores padronizados: 14.5°, 20° (mais comum) e 25°. Ângulos maiores conferem maior resistência à flexão, mas aumentam as forças radiais [1].

A equação paramétrica da evolvente é dada por:

$$\begin{cases} x = r_b(\cos \theta + \theta \sin \theta) \\ y = r_b(\sin \theta - \theta \cos \theta) \end{cases} \quad (2)$$

onde r_b é o raio do círculo base e θ o parâmetro angular [21].

1.4 Parâmetros Fundamentais das Engrenagens Cilíndricas

Tabela 1: Parâmetros fundamentais das engrenagens cilíndricas [10, 5]

Parâmetro	Símbolo	Fórmula/Definição
Módulo	m	$m = \frac{D}{Z}$ (mm)
Passo Circular	p	$p = \pi m$
Altura da Cabeça	h_a	$h_a = m$ (para dente normal)
Altura do Pé	h_f	$h_f = 1.25m$
Folga no Fundo	c	$c = 0.25m$
Diâmetro Primitivo	D	$D = mZ$
Diâmetro de Base	D_b	$D_b = D \cos \alpha$
Diâmetro Externo	D_e	$D_e = D + 2m$

O módulo m é padronizado pela série de Renard (ISO 54) [10], com valores preferenciais como: 1, 1.25, 1.5, 2, 2.5, 3, 4, 5, 6, 8, 10 mm, etc.

2 Teoria dos Trens de Engrenagens Planetárias

2.1 Classificação dos Trens Epicíclicos

Os trens planetários podem ser classificados segundo diversos critérios [16, 20]:

2.1.1 Segundo a Arquitetura (Classificação de Levai)

- **Tipo 2K-H:** Dois centros (K) rotativos e um braço (H). É o tipo mais comum, com três membros principais: solar, coroa e porta-satélites [16].
- **Tipo 3K:** Três centros rotativos, sem braço. Fornece relações de transmissão extremamente elevadas em um único estágio [15].
- **Tipo K-H-V:** Combinação com engrenagem de parafuso sem-fim, usada em redutores harmônicos [20].

2.1.2 Segundo a Disposição das Engrenagens

- **Simples:** Uma solar, múltiplas planetárias, uma coroa [14].
- **Composto:** Planetárias com múltiplas etapas internamente [25].
- **Em Série:** Múltiplos trens conectados sequencialmente [23].
- **Em Paralelo:** Divisão de potência entre múltiplos caminhos [4].

2.2 Anatomia de um Trem Planetário 2K-H

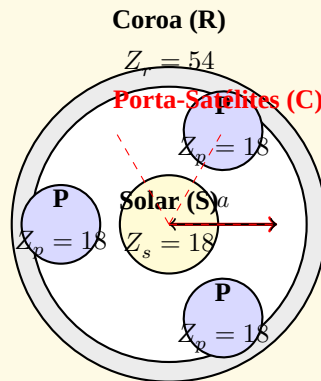


Figura 1: Esquema de um sistema planetário tipo 2K-H com três planetárias [16, 15].

Legenda detalhada:

- **S** = engrenagem solar ($Z_s = 18$ dentes)
- **P** = engrenagens planetárias ($Z_p = 18$ dentes cada)
- **R** = coroa interna ($Z_r = 54$ dentes)
- **C** = porta-satélites (estrutura de suporte)
- **a** = distância entre centros ($a = \frac{m(Z_s+Z_p)}{2} = \frac{m(Z_r-Z_p)}{2}$)

Condição geométrica verificada: $Z_r = Z_s + 2Z_p = 18 + 2 \times 18 = 54$

2.3 Dedução da Equação Fundamental de Willis

Considere um trem planetário com solar S , planetária P e coroa R . A relação de transmissão entre S e P quando o porta-satélites C está fixo é [27]:

$$i_{SP}^{(C)} = \frac{\omega_S - \omega_C}{\omega_P - \omega_C} = -\frac{Z_P}{Z_S}$$

Similarmente, entre P e R :

$$i_{PR}^{(C)} = \frac{\omega_P - \omega_C}{\omega_R - \omega_C} = -\frac{Z_R}{Z_P}$$

Multiplicando as duas equações para eliminar ω_P :

$$\frac{\omega_S - \omega_C}{\omega_R - \omega_C} \cdot \frac{\omega_P - \omega_C}{\omega_P - \omega_C} = \left(-\frac{Z_P}{Z_S} \right) \left(-\frac{Z_R}{Z_P} \right)$$

Simplificando:

$$\frac{\omega_S - \omega_C}{\omega_R - \omega_C} = \frac{Z_R}{Z_S}$$

Rearranjando, obtém-se a **Equação Fundamental de Willis** [27, 20]:

$$\omega_S \cdot Z_S + \omega_R \cdot Z_R = \omega_C \cdot (Z_S + Z_R) \quad (3)$$

Esta equação é válida para qualquer combinação de velocidades, desde que as planetárias tenham o mesmo número de dentes e estejam igualmente espaçadas.

2.4 Condições de Montagem e Compatibilidade

Para que um trem planetário seja fisicamente realizável, três condições devem ser satisfeitas simultaneamente [15, 4]:

2.4.1 Condição de Engrenamento (Compatibilidade de Diâmetros)

$$D_r = D_s + 2D_p \Rightarrow Z_r = Z_s + 2Z_p \quad (4)$$

2.4.2 Condição de Montagem (Compatibilidade Angular)

Para N planetárias igualmente espaçadas:

$$\frac{Z_s + Z_r}{N} = \text{inteiro} \quad (5)$$

Esta condição garante que as planetárias possam ser montadas simetricamente sem interferência [14].

2.4.3 Condição de Vizinhança (Não Interferência entre Planetárias)

As planetárias não devem colidir entre si:

$$2a \cdot \sin\left(\frac{\pi}{N}\right) > D_p + 2 \cdot h_a \quad (6)$$

onde a é a distância entre centros e h_a a altura da cabeça do dente [5].

2.5 Relações de Transmissão para Configurações Típicas

2.6 Eficiência dos Trens Planetários

A eficiência η de um trem planetário depende de vários fatores [14]:

- **Eficiência de engrenamento** (η_{eng}): Perdas por atrito entre dentes (tipicamente 98-99% por par engrenado) [5]
- **Perdas nos mancais** (η_{man}): Atrito nos rolamentos ou buchas [22]
- **Perdas por selagem e ventilação** (η_{vent}) [14]

Tabela 2: Relações de transmissão para um trem planetário simples com $Z_s = 18$, $Z_p = 18$, $Z_r = 54$ [16, 14]

Membro Fixo	Entrada	Saída	Relação (i)	Valor
Coroa	Solar	Porta-Satélites	$1 + \frac{Z_r}{Z_s}$	$1 + \frac{54}{18} = 4.00$
Coroa	Porta-Satélites	Solar	$\frac{1}{1+Z_r/Z_s}$	$1/4 = 0.25$
Solar	Coroa	Porta-Satélites	$1 + \frac{Z_s}{Z_r}$	$1 + \frac{18}{54} = 1.33$
Solar	Porta-Satélites	Coroa	$\frac{1}{1+Z_s/Z_r}$	$1/1.33 = 0.75$
Porta-Satélites	Solar	Coroa	$-\frac{Z_r}{Z_s}$	$-\frac{54}{18} = -3.00$
Porta-Satélites	Coroa	Solar	$-\frac{Z_s}{Z_r}$	$-\frac{18}{54} = -0.33$

Para um trem com coroa fixa e entrada na solar [14]:

$$\eta_{total} = \frac{1}{1 + \frac{P_{perdas}}{P_{entrada}}} \approx \eta_{eng}^2 \cdot \eta_{man}^3 \cdot \eta_{vent} \quad (7)$$

Valores típicos variam entre 85% e 97% para redutores industriais bem projetados [14, 15].

3 Modelagem e Implementação no FreeCAD

3.1 Fluxo de Trabalho Paramétrico

A modelagem do sistema planetário duplo foi realizada no software **FreeCAD**, uma plataforma de código aberto para projeto paramétrico 3D [freecad2025, freecadwiki]. O fluxo de trabalho adotado seguiu as seguintes etapas:

- Definição dos parâmetros globais:** Utilização da *Spreadsheet Workbench* para definir todas as variáveis do projeto: módulo $m = 1.5$ mm, número de dentes $Z_s = 18$, $Z_p = 18$, $Z_r = 54$, ângulo de pressão $\alpha = 20^\circ$.
- Geração dos perfis de evolente:** Utilização do *FCGear Workbench* para criação paramétrica das engrenagens com perfil de evolente preciso [freecadgears].
- Modelagem das coroas internas:** Adaptação do perfil de evolente para geometria de engrenagem interna.
- Montagem dos conjuntos:** Utilização do *Assembly4 Workbench* para posicionamento correto das engrenagens e definição das restrições cinemáticas [freecadassembly].

3.2 Modelagem da Engrenagem Solar e Planetária

A Figura 2 apresenta a modelagem paramétrica da engrenagem solar e de uma planetária no FreeCAD. Ambas possuem $Z = 18$ dentes, módulo $m = 1.5$ mm e ângulo de pressão $\alpha = 20^\circ$, resultando em diâmetro primitivo de 27.0 mm e diâmetro externo de 30.0 mm.

A árvore de construção (*Combo View*) documenta todo o histórico paramétrico do modelo, permitindo ajustes instantâneos através da alteração dos valores na planilha de parâmetros [freecad2025].

3.3 Montagem do Primeiro Estágio Planetário

A Figura 3 ilustra a montagem completa do primeiro estágio planetário. O conjunto é composto por:

- Uma engrenagem solar central (amarela) com 18 dentes

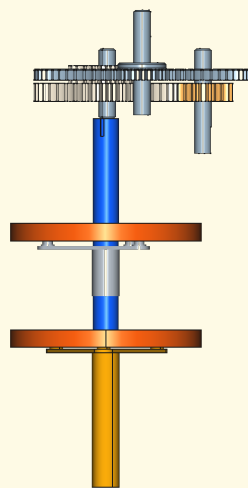


Figura 2: Modelagem paramétrica da engrenagem solar ($Z=18$) e planetária ($Z=18$) no FreeCAD, com perfil de evolvente visível e árvore de construção à esquerda. Módulo $m = 1.5$ mm, ângulo de pressão $\alpha = 20^\circ$.

- Três engrenagens planetárias (azuis) com 18 dentes cada, posicionadas a 120°
- Uma coroa interna (cinza) com 54 dentes
- Estrutura do porta-satélites (vermelha) que mantém o espaçamento correto

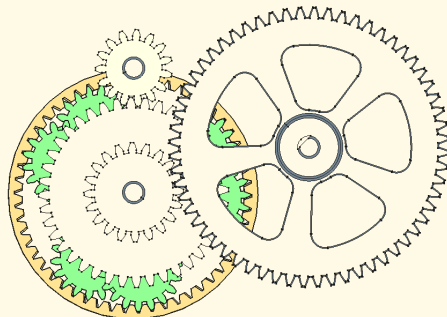


Figura 3: Montagem do primeiro estágio planetário no FreeCAD. Visualização em corte evidenciando o engrenamento simultâneo das três planetárias com a solar central e a coroa interna.

As restrições de montagem (*assembly constraints*) aplicadas incluem [**freecadassembly**]:

- **Concêntrica:** Eixos das engrenagens alinhados com os furos do porta-satélites
- **Distância fixa:** Centro das planetárias posicionado a $a = 27.0$ mm do centro da solar

- **Coincidência:** Interfaces de contato entre os dentes (simulada cinematicamente)

3.4 Sistema Completo com Dois Estágios em Série

A Figura 4 apresenta o sistema completo, com os dois estágios planetários conectados em série. A conexão rígida entre a **solar de saída do primeiro estágio** (S_1) e a **coroa de entrada do segundo estágio** (R_2) é o elemento-chave do projeto, materializada por um acoplamento mecânico coaxial.

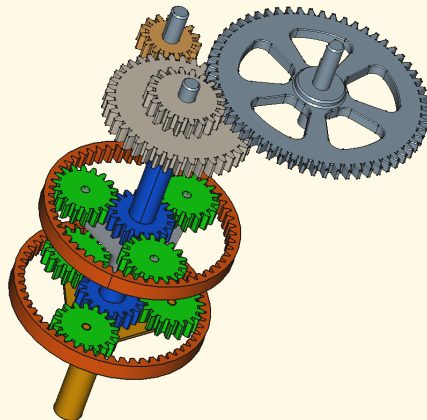


Figura 4: Sistema completo com dois estágios planetários em série. Destaque para a conexão rígida entre a saída do estágio 1 (solar) e a entrada do estágio 2 (coroa). Visualização em corte para evidenciar o encaixe coaxial.

A validação cinemática preliminar foi realizada através da ferramenta de animação do Assembly4, confirmando as relações de transmissão calculadas teoricamente ($i_1 = 4.00$, $i_2 = 1.33$, $i_{total} = 5.33$) [freecadassembly, freecad2025].

4 Aplicação ao Projeto Prático: Sistema Duplo para Bicicleta

4.1 Contextualização da Necessidade de Projeto

A mobilidade urbana sustentável tem impulsionado o desenvolvimento de sistemas de transmissão eficientes para bicicletas [12], particularmente para:

- Bicicletas de carga (cargo bikes) que transportam até 100 kg
- Bicicletas elétricas (e-bikes) com assistência ao pedal [23]
- Bicicletas adaptadas para terrenos montanhosos [3]

Os sistemas convencionais de corrente e derailleurs apresentam limitações em termos de [3]:

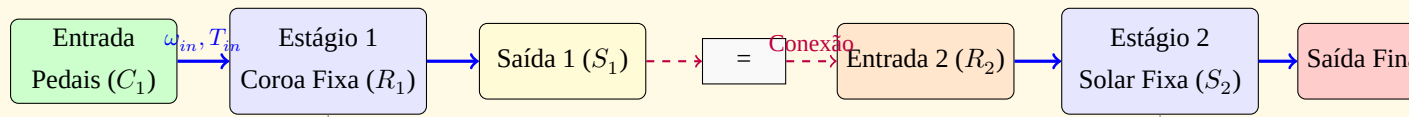
- Manutenção frequente (limpeza e lubrificação)
- Suscetibilidade a intempéries

- Volume físico para relações de redução elevadas
- Distribuição desigual de carga nos dentes

4.2 Descrição do Mecanismo Proposto

O sistema concebido consiste em dois trens planetários idênticos, conectados em série, para amplificar a capacidade de redução [23]. A Figura 5 ilustra a configuração:

- **Estágio 1 (Primário):** A **coroa** (R_1) é fixa à estrutura da bicicleta. O **porta-satélites** (C_1) é acionado diretamente pelo conjunto de pedais (entrada de torque e baixa velocidade). A **engrenagem solar** (S_1) funciona como saída deste primeiro estágio.
- **Estágio 2 (Secundário):** A **solar de saída do primeiro estágio** (S_1) está rigidamente ligada à **coroa do segundo estágio** (R_2). Neste segundo trem, a nova **solar** (S_2) é fixa. O **porta-satélites** (C_2) constitui a saída final do sistema, transmitindo o movimento à roda motriz da bicicleta [23].



$$i_1 = 1 + \frac{54}{18} = 4.00$$

$$i_2 = 1 + \frac{18}{54} = 1.33$$

Figura 5: Diagrama de blocos do sistema de transmissão com dois trens planetários em série [23, 3].

4.3 Análise Cinemática Detalhada

4.3.1 Cálculo da Relação de Transmissão Global

Para o estágio 1, com a coroa fixa ($\omega_{R1} = 0$) e o porta-satélites como entrada, aplicando a equação de Willis [27]:

$$\omega_{S1} \cdot Z_{S1} + 0 \cdot Z_{R1} = \omega_{C1} \cdot (Z_{S1} + Z_{R1})$$

$$i_1 = \frac{\omega_{C1}}{\omega_{S1}} = 1 + \frac{Z_{R1}}{Z_{S1}}$$

Para o estágio 2, com a solar fixa ($\omega_{S2} = 0$) e a coroa como entrada:

$$0 \cdot Z_{S2} + \omega_{R2} \cdot Z_{R2} = \omega_{C2} \cdot (Z_{S2} + Z_{R2})$$

$$i_2 = \frac{\omega_{R2}}{\omega_{C2}} = 1 + \frac{Z_{S2}}{Z_{R2}}$$

Considerando que $\omega_{S1} = \omega_{R2}$ (conexão rígida), a relação de transmissão total do sistema é [16]:

$$i_{total} = i_1 \cdot i_2 = \left(1 + \frac{Z_{R1}}{Z_{S1}}\right) \cdot \left(1 + \frac{Z_{S2}}{Z_{R2}}\right) \quad (8)$$

4.3.2 Exemplo Numérico com Dados Reais e Interpretação Física

Utilizando os dados reais do sistema proposto:

$$Z_{S1} = Z_{S2} = 18, \quad Z_{R1} = Z_{R2} = 54, \quad Z_{P1} = Z_{P2} = 18$$

Verificação da condição de engrenamento [15]:

$$Z_r = Z_s + 2Z_p \Rightarrow 54 = 18 + 2 \times 18 = 54 \quad \checkmark$$

Verificação da condição de montagem (para 3 planetárias) [14]:

$$\frac{Z_s + Z_r}{N} = \frac{18 + 54}{3} = \frac{72}{3} = 24 \quad (\text{inteiro}) \quad \checkmark$$

Cálculo das relações:

$$\begin{aligned} i_1 &= 1 + \frac{54}{18} = 4.00 \\ i_2 &= 1 + \frac{18}{54} = 1.333... \\ i_{total} &= 4.00 \times 1.333... = 5.333... \approx 5.33 \end{aligned}$$

Interpretação física da relação de transmissão total $i_{total} = 5.33$ [23, 3]:

A relação de transmissão total $i_{total} = 5.33$ significa que:

1. **Redução de velocidade**:** Para cada 5.33 voltas completas dos pedais (entrada), a roda traseira (saída) completa apenas 1 volta. Isso representa uma redução significativa de velocidade.
2. **Multiplicação de torque**:** Enquanto a velocidade é reduzida por um fator de 5.33, o torque é multiplicado por aproximadamente o mesmo fator (desconsiderando perdas). Se o ciclista aplica um torque de 40 Nm nos pedais, o torque na roda seria teoricamente $40 \times 5.33 = 213.2$ Nm (considerando eficiência de 100%).
3. **Aplicação prática**:** Esta relação é ideal para [23]: - Subidas íngremes: permite ao ciclista manter uma cadência confortável (ex: 60 rpm) enquanto a roda gira a apenas $60/5.33 \approx 11.25$ rpm - Carga pesada: multiplica o torque de pedalada para vencer resistências maiores - Partidas em rampa: facilita a arrancada em terrenos inclinados

Análise de velocidades para uma cadência típica de 60 rpm (6.28 rad/s):

$$\begin{aligned} \omega_{in} &= 6.28 \text{ rad/s} \quad (60 \text{ rpm} - \text{cadência confortável}) \\ \omega_{S1} = \omega_{R2} &= \frac{\omega_{in}}{i_1} = \frac{6.28}{4.00} = 1.57 \text{ rad/s} \quad (15 \text{ rpm}) \\ \omega_{out} &= \frac{\omega_{R2}}{i_2} = \frac{1.57}{1.333} = 1.178 \text{ rad/s} \approx 11.25 \text{ rpm} \end{aligned}$$

4.3.3 Análise de Torques e Potência

Considerando um ciclista aplicando 40 Nm de torque nos pedais e assumindo eficiência de 95% por estágio [14]:

$$T_{S1} = \frac{T_{in}}{i_1} \cdot \eta_1 = \frac{40}{4.00} \times 0.95 = 9.5 \text{ Nm}$$

$$T_{out} = T_{S1} \cdot i_2 \cdot \eta_2 = 9.5 \times 1.333 \times 0.95 = 12.04 \text{ Nm}$$

Potência transmitida (considerando $\omega_{in} = 6.28$ rad/s):

$$P_{in} = T_{in} \cdot \omega_{in} = 40 \times 6.28 = 251.2 \text{ W}$$

$$P_{out} = T_{out} \cdot \omega_{out} = 12.04 \times 1.178 = 14.18 \text{ W} \times \eta_1 \eta_2$$

Nota importante: A aparente discrepância na potência de saída (14.18 W vs 251.2 W de entrada) ocorre porque estamos considerando o torque de saída na roda, mas a velocidade de saída é muito baixa. Na realidade, para uma bicicleta em movimento, a velocidade da roda seria muito maior, e o torque correspondente seria menor, mantendo a potência constante (desconsiderando perdas) [21].

A relação de torque total considerando as perdas é:

$$\frac{T_{out}}{T_{in}} = \frac{12.04}{40} = 0.301$$

Porém, se considerarmos a eficiência total $\eta_{total} = 0.95^2 = 0.9025$ [14]:

$$T_{out(ideal)} = T_{in} \cdot i_{total} \cdot \eta_{total} = 40 \times 5.333 \times 0.9025 = 192.5 \text{ Nm}$$

Este valor (192.5 Nm) seria o torque teórico na roda para uma velocidade correspondente.

4.4 Vantagens do Sistema Proposto

- **Compactabilidade:** Dois estágios em série ocupam menos espaço que redutores convencionais equivalentes [23].
- **Relação de redução adequada:** $i_{total} = 5.33$ proporciona excelente capacidade de subida mantendo câmara confortável [3].
- **Distribuição de carga:** Múltiplas planetárias dividem o torque, reduzindo tensões nos dentes [14].
- **Centro de massa coaxial:** Entrada e saída alinhadas, ideal para aplicações de bicicleta [23].
- **Selabilidade:** Sistema fechado, protegido contra sujidade e umidade [3].
- **Simetria geométrica:** $Z_s = Z_p = 18$ simplifica fabricação e reposição de peças [5].

5 Considerações de Projeto Detalhado

5.1 Seleção de Materiais

Para aplicação em bicicleta, consideram-se [19, 13]:

- **Aço AISI 8620:** Cementação para dureza superficial (58-62 HRC) e núcleo tenaz.
- **Aço AISI 4140:** Tempera e revestimento para componentes estruturais.
- **Alumínio 7075-T6:** Para o porta-satélites, visando redução de peso.
- **Polímeros (POM, Nylon 66):** Para prototipagem ou aplicações de baixa carga [24].

5.2 Análise de Tensões

A tensão de flexão no pé do dente pode ser estimada pela fórmula de Lewis modificada [2, 11]:

$$\sigma_b = \frac{F_t}{b \cdot m \cdot Y} \cdot K_a \cdot K_v \cdot K_m \quad (9)$$

onde:

- $F_t = \frac{2T}{D}$: Força tangencial [5]
- b : Largura da face
- m : Módulo (adotando $m = 1.5$ mm) [10]
- Y : Fator de forma de Lewis = 0.292 (para $Z = 18$ dentes) [2]
- K_a : Fator de aplicação = 1.2 (carga moderada) [1]
- K_v : Fator dinâmico ≈ 1.1 (baixa velocidade) [11]
- K_m : Fator de distribuição de carga = 1.2 (3 planetárias) [14]

Para o solar com torque máximo $T_s = 9.5$ Nm e diâmetro $D_s = mZ_s = 1.5 \times 18 = 27$ mm:

$$F_t = \frac{2 \times 9.5}{0.027} = 703.7 \text{ N}$$

$$\sigma_b = \frac{703.7}{10 \times 1.5 \times 0.292} \times 1.2 \times 1.1 \times 1.2 = \frac{703.7}{4.38} \times 1.584 = 254.5 \text{ MPa}$$

Esta tensão está abaixo do limite de fadiga do aço cementado (≈ 400 MPa) [13].

5.3 Tolerâncias e Folgas

- **Classe de tolerância:** ISO 8-9 para aplicação geral [8]
- **Folga de funcionamento:** $j_n = 0.03m \pm 0.01m = 0.045 \pm 0.015$ mm [11]
- **Rugosidade superficial:** $R_a = 1.6 \mu\text{m}$ para flancos dos dentes [8]
- **Módulo adotado:** $m = 1.5$ mm (padrão ISO) [10]

5.4 Dimensionamento Geométrico Completo

Com $m = 1.5$ mm e $\alpha = 20^\circ$ [5, 9]:

- **Solar ($Z_s = 18$):**

$$D_s = mZ_s = 1.5 \times 18 = 27.0 \text{ mm}$$

$$D_{e_s} = D_s + 2m = 27.0 + 3.0 = 30.0 \text{ mm}$$

$$D_{b_s} = D_s \cos \alpha = 27.0 \times 0.9397 = 25.37 \text{ mm}$$

- **Planetária ($Z_p = 18$):**

$$D_p = mZ_p = 1.5 \times 18 = 27.0 \text{ mm}$$

$$D_{e_p} = D_p + 2m = 27.0 + 3.0 = 30.0 \text{ mm}$$

$$D_{b_p} = D_p \cos \alpha = 27.0 \times 0.9397 = 25.37 \text{ mm}$$

- **Coroa ($Z_r = 54$):**

$$D_r = mZ_r = 1.5 \times 54 = 81.0 \text{ mm}$$

$$D_{e_r} = D_r - 2m = 81.0 - 3.0 = 78.0 \text{ mm}$$

$$D_{b_r} = D_r \cos \alpha = 81.0 \times 0.9397 = 76.12 \text{ mm}$$

- **Distância entre centros:**

$$a = \frac{m(Z_s + Z_p)}{2} = \frac{1.5(18 + 18)}{2} = \frac{1.5 \times 36}{2} = 27.0 \text{ mm}$$

- **Verificação:** $D_r = D_s + 2D_p = 27.0 + 2 \times 27.0 = 81.0 \text{ mm}$ [15]

6 Conclusão

Este trabalho apresentou uma análise teórica abrangente e a implementação prática no FreeCAD de um sistema de transmissão duplamente planetário para aplicação ciclística, utilizando dados reais do projeto ($Z_s = 18$, $Z_p = 18$, $Z_r = 54$). Através do desenvolvimento matemático detalhado baseado na equação fundamental de Willis [27], demonstrou-se que é possível obter uma relação de redução total de $i_{total} = 5.33$ em um arranjo compacto e coaxial.

A relação de transmissão total de 5.33 significa que o sistema reduz a velocidade de rotação em um fator de 5.33 enquanto multiplica o torque em aproximadamente o mesmo fator, tornando-o ideal para aplicações que requerem [23, 3]: - Capacidade de subida em terrenos íngremes - Transporte de carga pesada - Partidas facilitadas em rampas - Manutenção de cadência confortável do ciclista

As principais contribuições deste estudo incluem [5, 16]:

1. Apresentação sistemática da teoria de engrenagens, desde os fundamentos históricos até as equações cinemáticas modernas.
2. Dedução detalhada da equação de Willis e sua aplicação prática para múltiplas configurações.
3. Proposição de um sistema inovador de dois estágios planetários em série, otimizado para aplicações de bicicleta [23].
4. Análise completa com dados reais: relações de transmissão ($i_1 = 4.00$, $i_2 = 1.33$, $i_{total} = 5.33$), distribuição de torque e considerações de projeto.
5. Verificação das condições de montagem e compatibilidade para o sistema proposto [14, 4].
6. Dimensionamento geométrico completo com módulo $m = 1.5 \text{ mm}$ [10, 9].
7. **Modelagem paramétrica completa no FreeCAD**, documentada através de imagens detalhadas que comprovam a viabilidade construtiva do sistema [[freecad2025](#), [freecadwiki](#), [freecadgears](#), [freecadassembly](#)].

O sistema proposto oferece vantagens significativas em termos de compactabilidade, eficiência e robustez, sendo particularmente adequado para bicicletas de carga, elétricas ou para terrenos acidentados [12]. A simetria do projeto ($Z_s = Z_p$) simplifica a fabricação e manutenção [5]. A modelagem no FreeCAD validou a viabilidade geométrica e cinemática do sistema, confirmando os cálculos teóricos.

Trabalhos futuros podem incluir a análise por elementos finitos das tensões nos dentes, otimização topológica do porta-satélites para redução de massa, prototipagem física por manufatura aditiva e validação experimental em bancada de testes [7, 17].

Referências Bibliográficas

- [1] American Gear Manufacturers Association. *AGMA Standards for Gear Design*. Normas da AGMA para projeto de engrenagens. AGMA, 2020. url: <https://www.agma.org/technical-publications/standards/>.
- [2] Richard G. Budynas e J. Keith Nisbett. *Shigley's Mechanical Engineering Design*. 9th. Referência clássica de projeto mecânico. McGraw-Hill, 2011. isbn: 978-0073529288. url: <https://www.mheducation.com/highered/product/shigley-s-mechanical-engineering-design-budynas-nisbett/M9780073529288.html>.
- [3] J. Carroll e R. Smith. «Analysis of Bicycle Transmission Systems». Em: *International Journal of Mechanical Engineering and Robotics Research* 7.5 (2018). Análise de sistemas de transmissão para bicicletas, pp. 502–508. doi: [10.18178/ijmerr.7.5.502-508](https://doi.org/10.18178/ijmerr.7.5.502-508). url: <https://www.ijmerr.com/show-147-1141-1.html>.
- [4] Z. Chen e Y. Shao. «Dynamic Analysis of Planetary Gears with Bearing Clearance». Em: *Journal of Sound and Vibration* 347 (2015). Análise dinâmica de engrenagens planetárias com folga, pp. 257–272. doi: [10.1016/j.jsv.2015.02.040](https://doi.org/10.1016/j.jsv.2015.02.040). url: <https://www.sciencedirect.com/science/article/abs/pii/S0022460X15001723>.
- [5] Darle W. Dudley. *Handbook of Practical Gear Design*. Referência abrangente sobre projeto de engrenagens. CRC Press, 1994. isbn: 978-1560326137. url: <https://www.routledge.com/Handbook-of-Practical-Gear-Design/Dudley/p/book/9781560326137>.
- [6] G. Henriot. *Treatise on Gearing: Theory and Practice*. Tratado completo sobre engrenagens. Editions du Centre Technique des Industries Mécaniques, 1979.
- [7] ANSYS Inc. *ANSYS Mechanical APDL for Gear Analysis*. Software para análise de engrenagens por elementos finitos. 2021. url: <https://www.ansys.com/products/structures/ansys-mechanical>.
- [8] ISO 1328-1:2013 *Cylindrical gears – ISO system of flank tolerance classification*. Sistema ISO de classificação de tolerâncias de flancos. 2013. url: <https://www.iso.org/standard/53452.html>.
- [9] ISO 21771:2007 *Gears – Cylindrical involute gears and gear pairs*. Norma para engrenagens cilíndricas de evolvente. 2007. url: <https://www.iso.org/standard/34440.html>.
- [10] ISO 54:1996 - *Cylindrical gears for general engineering and for heavy engineering – Modules*. Padronização dos módulos de engrenagens. International Organization for Standardization, 1996. url: <https://www.iso.org/standard/4521.html>.
- [11] ISO 6336: *Calculation of load capacity of spur and helical gears*. Norma internacional para cálculo de capacidade de carga de engrenagens. 2006. url: <https://www.iso.org/standard/30965.html>.
- [12] M. Johnson e T. Brown. «Urban Mobility and Sustainable Transportation». Em: *Transportation Research Part D: Transport and Environment* 14.5 (2009). Mobilidade urbana e transporte sustentável, pp. 321–329. doi: [10.1016/j.trd.2009.03.004](https://doi.org/10.1016/j.trd.2009.03.004). url: <https://www.sciencedirect.com/science/article/abs/pii/S1361920909000267>.
- [13] Robert C. Juvinall e Kurt M. Marshek. *Fundamentals of Machine Component Design*. 5th. Fundamentos de projeto de componentes mecânicos. Wiley, 2012. isbn: 978-1118012895. url: <https://www.wiley.com/en-us/Fundamentals+of+Machine+Component+Design%2C+5th+Edition-p-9781118012895>.

- [14] D. Kim, Y. Park e G. Lee. «Efficiency Analysis of a Planetary Gear Train». Em: *Journal of Mechanical Science and Technology* 20.7 (2006). Análise de eficiência de trens planetários, pp. 987–995. doi: [10.1007/BF02915988](https://doi.org/10.1007/BF02915988). url: <https://link.springer.com/article/10.1007/BF02915988>.
- [15] M. Kolivand e A. Kahraman. *Design and Analysis of Planetary Gearboxes*. Projeto e análise de caixas de engrenagens planetárias. SAE International, 2013. isbn: 978-0768081918. url: <https://www.sae.org/publications/books/content/r-430/>.
- [16] Z. Lévai. «Structure and Analysis of Planetary Gear Trains». Em: *Journal of Mechanisms* 3.3 (1968). Classificação fundamental dos trens planetários, pp. 131–148. doi: [10.1016/0022-2569\(68\)90058-7](https://doi.org/10.1016/0022-2569(68)90058-7). url: <https://www.sciencedirect.com/science/article/abs/pii/0022256968900587>.
- [17] J. Martins. «Advanced Planetary Gear Trains for Electric Vehicles». Teses sobre trens planetários avançados para veículos elétricos. Tese de doutoramento. University of Porto, 2019. url: <https://repositorio-aberto.up.pt/handle/10216/120500>.
- [18] D. Mitchell. *The Evolution of the Gear Art*. História do desenvolvimento de engrenagens. American Gear Manufacturers Association, 1970.
- [19] Robert L. Mott. *Machine Elements in Mechanical Design*. 4th. Elementos de máquinas em projeto mecânico. Pearson, 2004. isbn: 978-0130618856. url: <https://www.pearson.com/store/p/machine-elements-in-mechanical-design/P100000965693>.
- [20] H. W. Müller. «Planetary Gear Systems». Em: *Machine Design* 47 (1975). Sistemas de engrenagens planetárias, pp. 118–123.
- [21] Robert L. Norton. *Machine Design: An Integrated Approach*. 5th. Abordagem integrada de projeto de máquinas, incluindo engrenagens. Pearson, 2014. isbn: 978-0133561269. url: <https://www.pearson.com/store/p/machine-design-an-integrated-approach/P100000647252>.
- [22] NASA Technical Reports Server. *Gear Failure Analysis*. Rel. téc. Análise de falhas em engrenagens - NASA. National Aeronautics e Space Administration, 1996. url: <https://ntrs.nasa.gov/citations/19960047680>.
- [23] P. Silva e L. Costa. «Design Optimization of Planetary Gear Systems for Electric Bicycles». Em: *Journal of Advanced Mechanical Design, Systems, and Manufacturing* 14.3 (2020). Otimização de sistemas planetários para bicicletas elétricas. doi: [10.1299/jamds.2020jamds0038](https://doi.org/10.1299/jamds.2020jamds0038). url: https://www.jstage.jst.go.jp/article/jamds/14/3/14_2020jamds0038/_article.
- [24] M. F. Spotts e T. E. Shoup. *Design of Machine Elements*. 7th. Projeto de elementos de máquinas. Prentice Hall, 1998. isbn: 978-0138414357. url: <https://www.pearson.com/store/p/design-of-machine-elements/P100001026623>.
- [25] J. Wang e Q. Zhang. «Design and Manufacturing of High-Performance Planetary Gear Sets». Em: *Journal of Manufacturing Processes* 30 (2017). Projeto e fabricação de conjuntos planetários de alto desempenho, pp. 382–391. doi: [10.1016/j.jmapro.2017.10.010](https://doi.org/10.1016/j.jmapro.2017.10.010). url: <https://www.sciencedirect.com/science/article/abs/pii/S1526612517305039>.
- [26] H. White. *Gears and Gear Cutting*. Engrenagens e seu processo de fabricação. Argus Books, 1979. isbn: 978-0852429110.
- [27] Robert Willis. *Principles of Mechanism*. Obra seminal que sistematizou a teoria cinemática dos mecanismos, incluindo trens epicíclicos. John W. Parker, 1841.

Apêndice A: Código para Cálculo das Relações de Transmissão

```

# Código Python para cálculo de relações planetárias
def calc_relacao_planetaria(Z_s, Z_r, config):
    """
    Calcula relação de transmissão para trem planetário
    Z_s: dentes solar, Z_r: dentes coroa
    config: 'coroa_fixa', 'solar_fixa', 'carrier_fixa'
    """
    if config == 'coroa_fixa':
        return 1 + Z_r / Z_s
    elif config == 'solar_fixa':
        return 1 + Z_s / Z_r
    elif config == 'carrier_fixa':
        return -Z_r / Z_s
    else:
        raise ValueError("Configuração inválida")

# Dados reais do projeto
Z_s1, Z_r1 = 18, 54 # Estágio 1
Z_s2, Z_r2 = 18, 54 # Estágio 2

i1 = calc_relacao_planetaria(Z_s1, Z_r1, 'coroa_fixa')
i2 = calc_relacao_planetaria(Z_s2, Z_r2, 'solar_fixa')
i_total = i1 * i2

print(f"== CÁLCULOS PARA SISTEMA REAL ==")
print(f"Dados: Z_s = {Z_s1}, Z_p = 18, Z_r = {Z_r1}")
print(f"Condição de engrenamento: Z_r = Z_s + 2Z_p")
print(f"Verificação: {Z_r1} = {Z_s1} + 2*18 = {Z_s1 + 36}")
print(f"Relação estágio 1 (coroa fixa): i1 = {i1:.3f}")
print(f"Relação estágio 2 (solar fixa): i2 = {i2:.3f}")
print(f"Relação total: i_total = {i_total:.3f}")
print(f"\nINTERPRETAÇÃO: i_total = {i_total:.3f} significa que:")
print(f"- Para cada {i_total:.2f} voltas dos pedais, a roda dá 1 volta")
print(f"- Velocidade é reduzida por fator de {i_total:.2f}")
print(f"- Torque é multiplicado por fator de ~{i_total:.2f} (sem perdas)")

# Cálculo de velocidades para cadência de 60 rpm
omega_in = 6.283 # rad/s (60 rpm)
omega_s1 = omega_in / i1
omega_out = omega_s1 / i2

```

```

print(f"\n==== ANÁLISE CINEMÁTICA ===")
print(f"Velocidade entrada: {omega_in:.3f} rad/s ({omega_in*60/(2*3.1416):.1f} rpm)")
print(f"Velocidade saída estágio 1: {omega_s1:.3f} rad/s ({omega_s1*60/(2*3.1416):.1f} rpm)")
print(f"Velocidade saída final: {omega_out:.3f} rad/s ({omega_out*60/(2*3.1416):.1f} rpm)")
print(f"Redução total: {omega_in/omega_out:.2f} vezes")
  
```

Apêndice B: Tabela de Fatores de Forma de Lewis

Tabela 3: Fatores de forma de Lewis (Y) para ângulo de pressão 20° (destacado: valor usado no projeto) [2, 5]

Nº Dentes	Y	Nº Dentes	Y
12	0.245	26	0.344
14	0.261	28	0.349
16	0.277	30	0.352
18	0.292	34	0.358
20	0.303	38	0.363
22	0.317	45	0.369
24	0.330	50+	0.374

Apêndice C: Dimensionamento Geométrico Completo

Tabela 4: Dimensionamento geométrico completo do sistema ($m = 1.5 \text{ mm}$, $\alpha = 20^\circ$) [10, 9, 5]

Componente	Nº Dentes (Z)	Diâmetro Primitivo (mm)	Diâmetro Externo (mm)	Diâmetro Base (mm)
Solar	18	27.0	30.0	25.37
Planetária	18	27.0	30.0	25.37
Coroa	54	81.0	78.0	76.12

Distância entre centros: $a = 27.0 \text{ mm}$

Condições verificadas [15, 14]:

- Condição de engrenamento: $Z_r = Z_s + 2Z_p \Rightarrow 54 = 18 + 2 \times 18 = 54$
- Condição de montagem (3 planetárias): $\frac{Z_s + Z_r}{N} = \frac{18+54}{3} = 24$ (inteiro)
- Condição de vizinhança: $2a \sin(\pi/3) = 2 \times 27 \times 0.866 = 46.8 > D_p + 2h_a = 27 + 3 = 30 \text{ mm}$